

# ***SENSORIAMENTO REMOTO AGRÍCOLA: ANÁLISES QUANTITATIVAS***

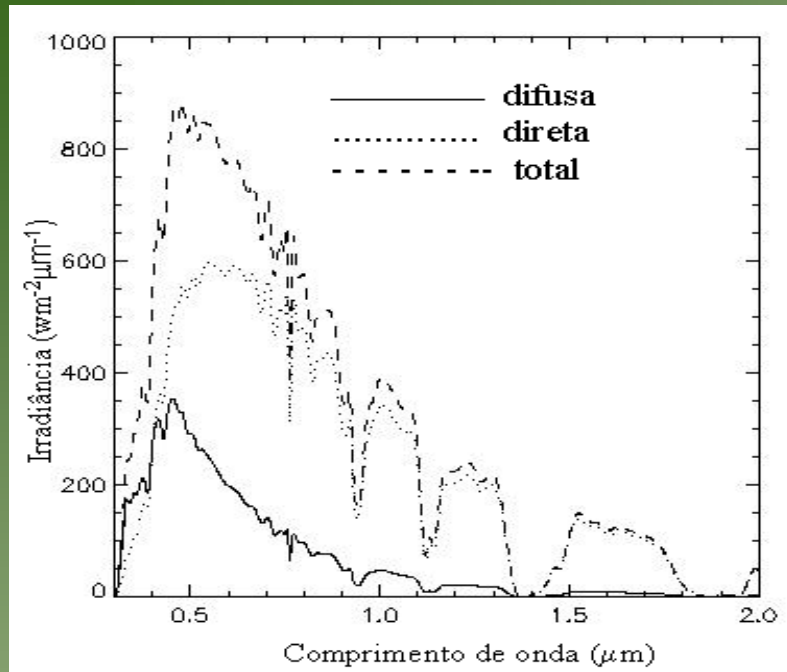
**Projeto PROCAD**

**Rogério C. Campos**

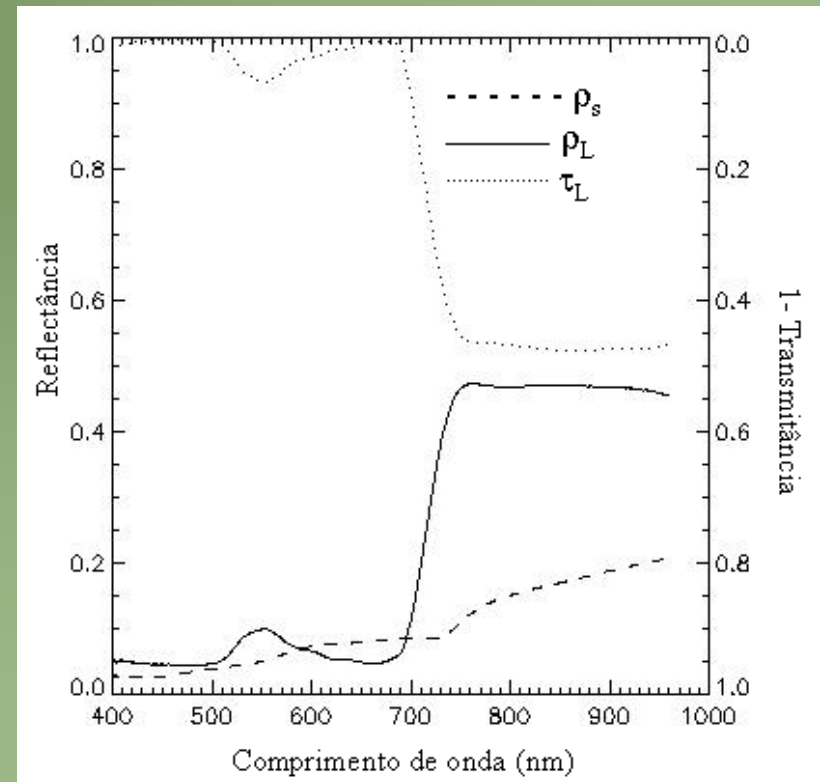
# SENSORIAMENTO REMOTO DO FUNCIONAMENTO DA BIOSFERA

- ✓ Atmosfera, Superfície e Habitabilidade
- ✓ Programas (International Geosphere Biosphere Program)
- ✓ Definições sobre demanda e análise dos dados (*feedback* da comunidade científica)

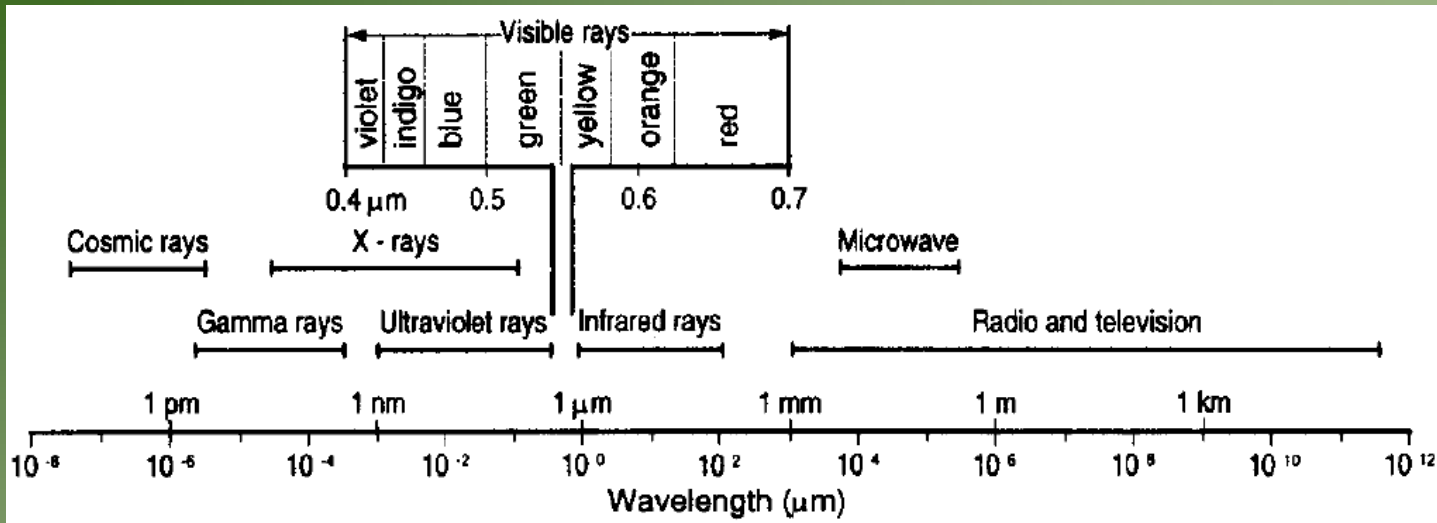
## Princípios físicos - natureza e propriedade da radiação



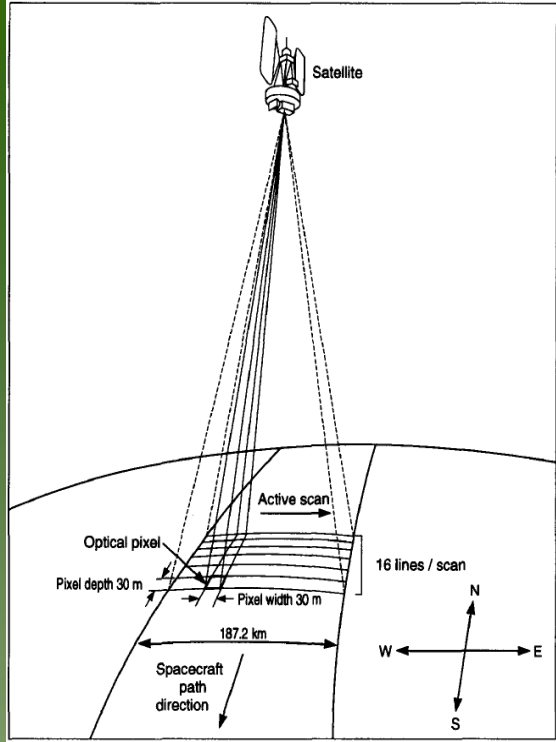
## Princípios físicos - propriedade óptica do alvo



# CONDIÇÕES AGRONÔMICAS



- ✓ Monitoramento do estado (condição) vegetação: RER
- ✓ Condições do ambiente de produção: REE (Emissão)
- ✓ Umidade do solo: REM (Microondas)
- ✓ Estress Ambiental: RER e REE (Reflexão e Emissão)



## NÍVEIS DE AQUISIÇÃO DE DADOS



FieldSpec Pro FR



Idade da folha

Spectron SE-590 esfera integradora Li-Cor 1800-12S

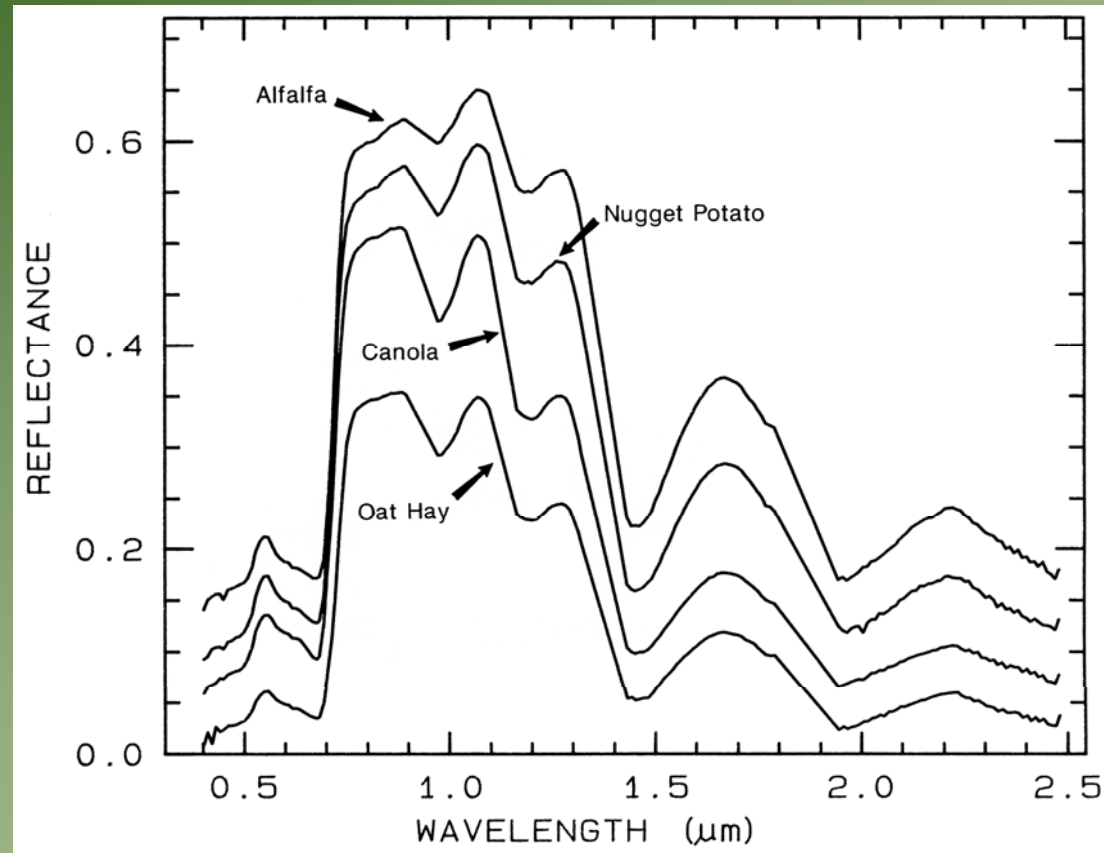
# CONFIGURAÇÕES (CAPACIDADE/RESOLUÇÕES)

<i>Satellite: sensor</i>	<i>Channel no.</i>	<i>Spectral resolution</i>	<i>Spatial resolution (m) at nadir</i>	<i>Sample swath</i>	<i>Repeat cycle</i>	<i>Lifetime</i>
GMS:VISSR <sup>a</sup>	1	500–750 nm	1250	hemisphere	hourly	1978–present
	2	10.5–12.5 μm	5000			
NOAA:AVHRR <sup>b</sup>	1	580–680 nm	1100	2700 km	every 12 h	1981–present
	2	725–1100 nm	1100			
	3	3.55–3.93 μm	1100			
	4	10.5–11.3 μm	1100			
	5	11.5–12.5 μm	1100			
LANDSAT:MSS <sup>c</sup>	4	500–600 nm	80	185 km	every 16 d	1972–present
	5	600–700 nm	80			
	6	700–800 nm	80			
	7	800–1100 nm	80			
LANDSAT:TM <sup>d</sup>	1	450–520 nm	30	185 km	every 16 d	1983–present
	2	520–600 nm	30			
	3	630–690 nm	30			
	4	769–900 nm	30			
	5	1.55–1.75 μm	30			
	7	2.08–2.35 μm	30			
	6	10.4–12.5 μm	120			

# The Question

What plant species are present in a remote sensing image?

# Species Identification



Not all vegetation looks the same! We can use this to help identify different species using RS.



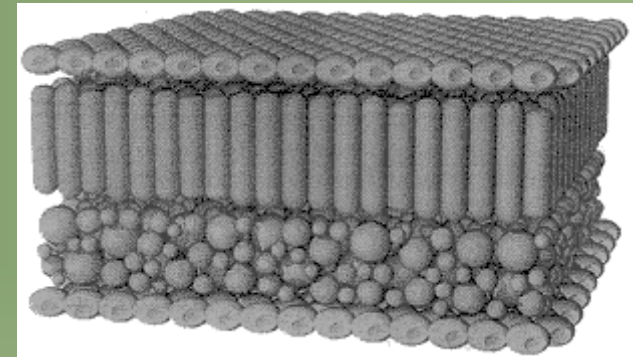
# Species Identification

Why do the spectra of different species vary?

- Cellular differences (protein, cellulose and lignin, water, pigments, etc...) **{factor 1, scattering/absorbing properties of canopy components (leaves)}**
- LAI, leaf angle, and leaf shape differences **{factor 2, architecture}**
- Trunk, stem and branch differences (size, number, color) **{factor 2, architecture}**
- Crown size and shape **{factor 2, architecture}**

# Cellular Differences

- PROSPECT (Jacquemoud et al., 1996): models the light path through a simulated leaf with differing structural and chemical properties.
  - Structural differences included rough, medium and smooth epidermis
  - Chemical differences included differences in protein, cellulose and lignin, and water.
- The structural and chemical properties were derived from real leaves.
- Found differences in modeled reflectance with different properties, and these matched real-world reflectance curves.

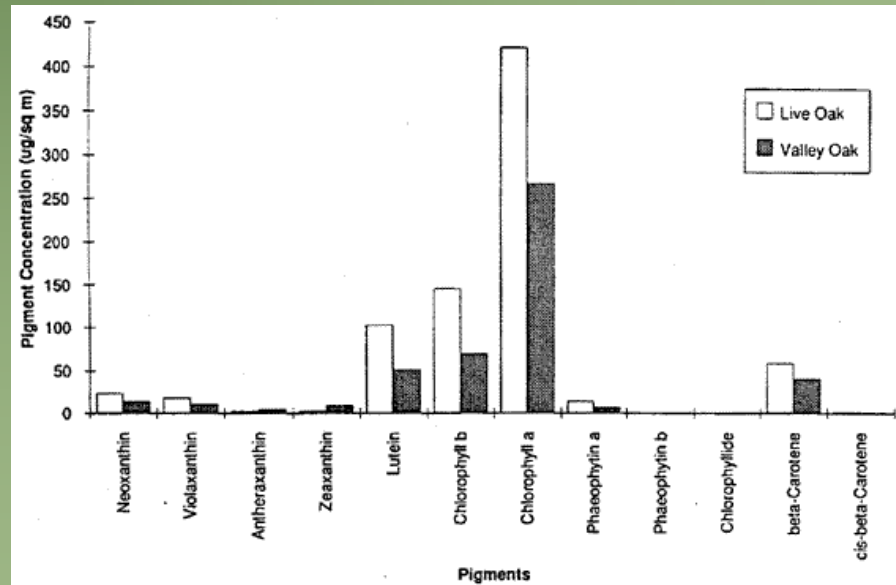
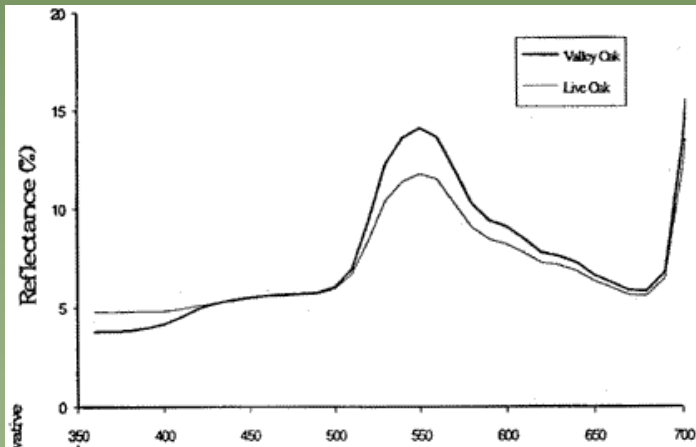


Factor 1: scattering/absorbing properties of canopy components (leaves)

# Cellular Differences: Pigments

Pigments can and will vary between species, even closely related ones.

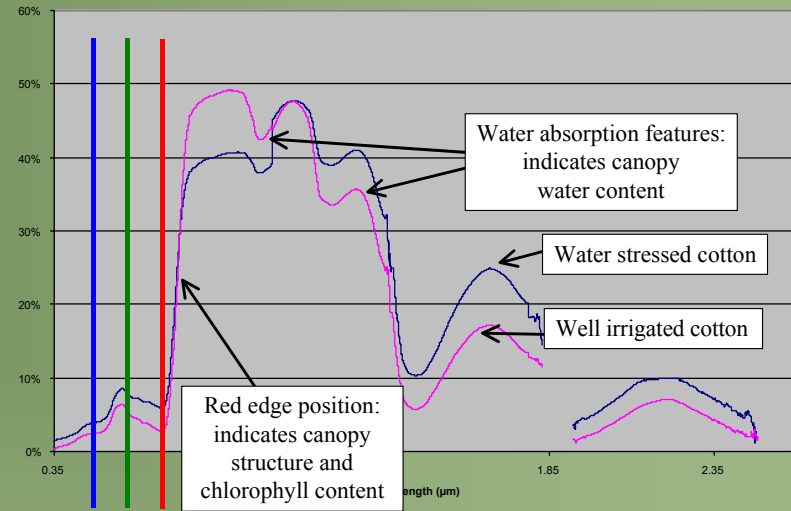
Mature Valley vs. Live Oak reflectance and pigment contents:



*Factor 1: scattering/absorbing properties of canopy components (leaves)*

# Cellular Differences: Water

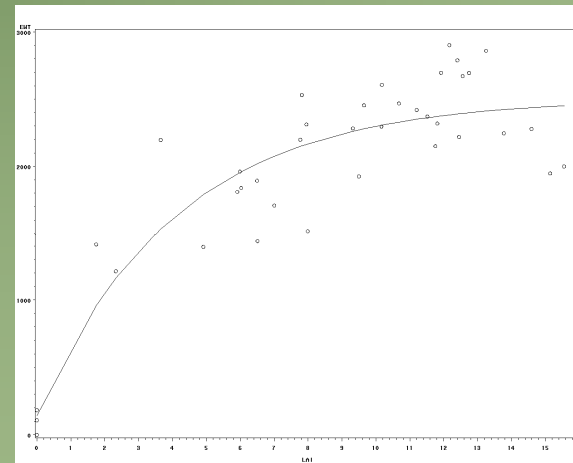
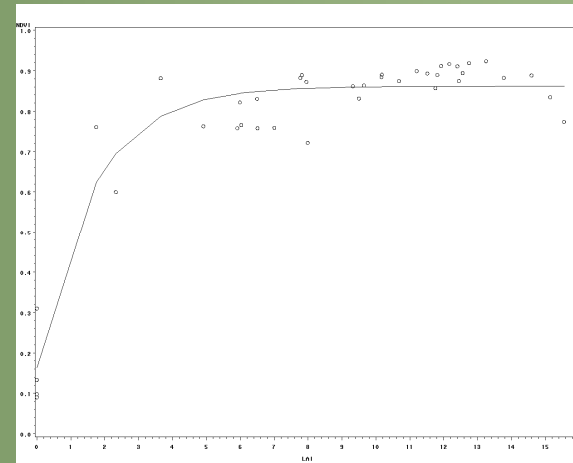
- Water absorption features can help determine the amount of water in a leaf.
- Water differences can indicate different species, or different stress levels within a species.



Greenberg et al. 2001, healthy and water stressed cotton spectra.

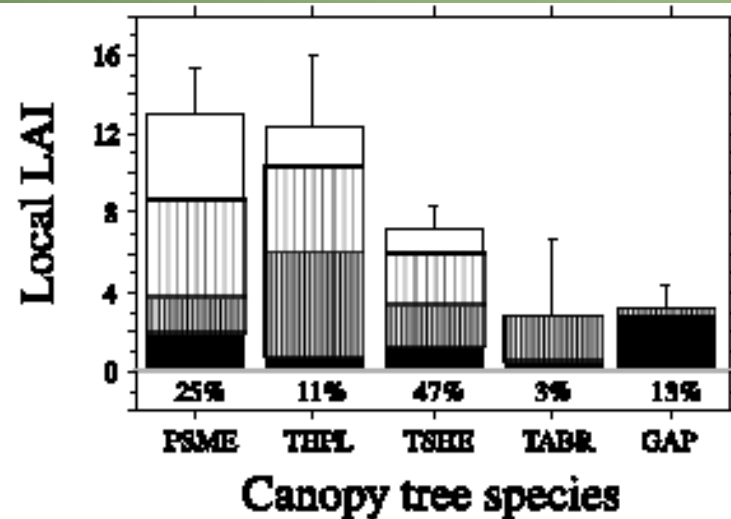
# Canopy Level Differences, LAI

- All things being equal, LAI intercepts light according to Beer's Law in the visible.
- Detection of LAI usually requires indices or proxy variables:
  - NDVI vs. LAI
  - EWT vs. LAI (Roberts et al., in review)



# Canopy BRF & LAI Differences

- The relationship between LAI and canopy reflectance depends on species, age/growth, scale of measurement, distribution of leaves in a crown, leaf angle distribution, and many other factors.
- ==>> *Key Point:* LAI is important, but differences in LAI do not necessarily mean differences in species nor differences in canopy reflectance — and vice versa.

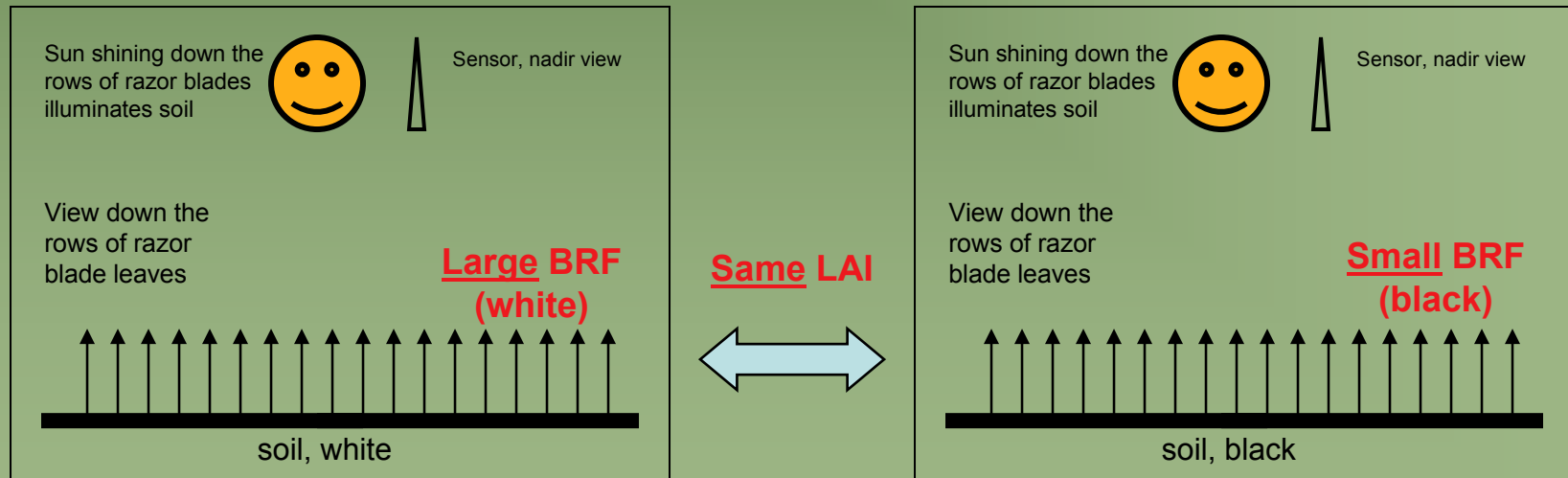


LAI vs. canopy species at WRCCF, Thomas and Winner 2000. Shading refers to different canopy strata.

# Canopy BRF & LAI Differences

Consider 'pathological' example A: Two 'razor blade' canopies...

- Factor 1, Same leaves (black), different soil (white/black)
  - Factor 2, Same 'LAI' in each canopy.
  - Factor 3, Same view/illumination directions
- One canopy LAI value corresponds to two canopy reflectances
  - ==>> **Conclusion: the relationship between BRF and LAI is not unique** <<==



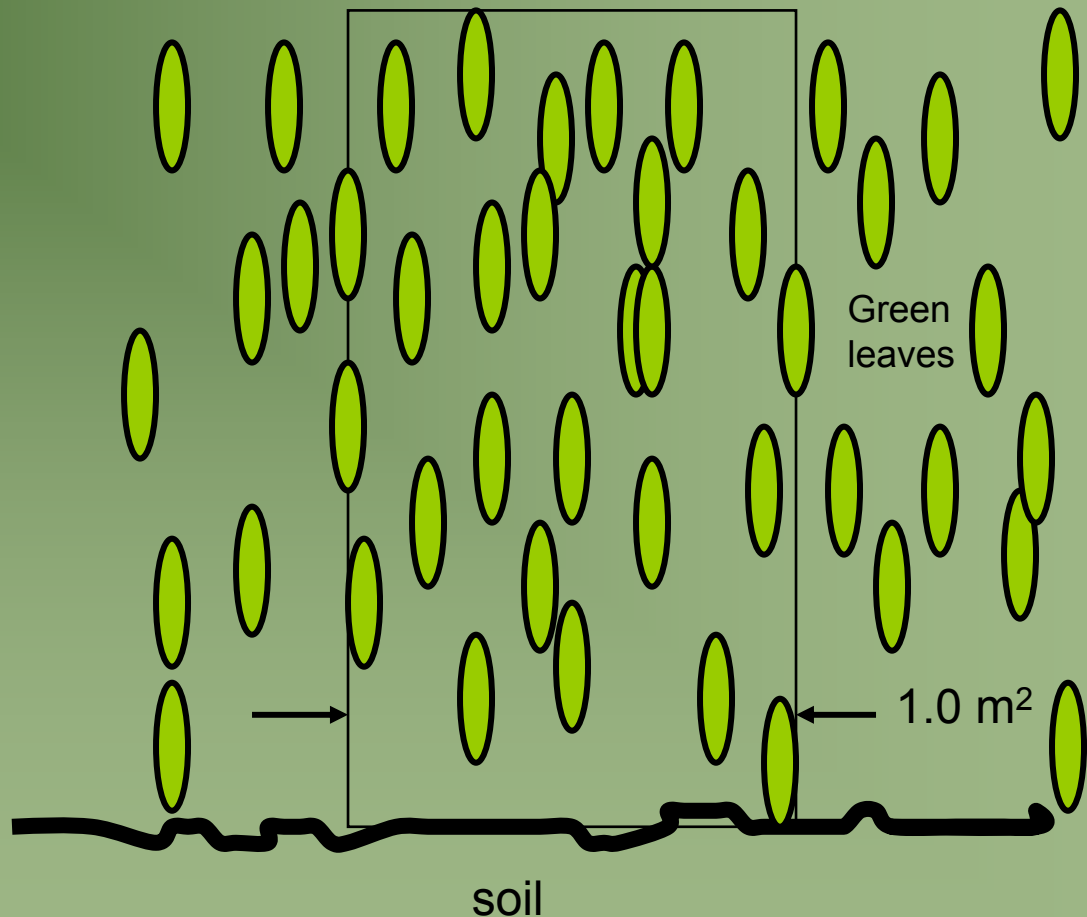
# LAI and Ecosystems

Vegetation Type	Dominant Species	LAI	Source
Temperate deciduous forest	<i>Quercus, Castanea, Carpinus Populus, Fagus</i> spp.	1.8 - 7.7	Dufrene and Breda (1995)
Temperate deciduous forest	<i>Quercus rubra, Acer rubrum</i>	3.2 - 5.5	M. Martin, <i>pers. comm.</i>
Temperate deciduous forest	<i>Quercus and Acer</i> spp.	5.0, 0.75*	Hutchison et al. (1986)
Temperate deciduous woodland	<i>Castanea sativa</i>	1.5 - 11.0	Ford and Newbould (1971)
Temperate evergreen forest	<i>Nothofagus solandri</i>	5.5 - 7.9	Hollinger (1989)
Temperate grassland	<i>Sorghastrum nutans, Panicum virgatum, Andropogon gerardii</i>	1.2 - 3.3	Welles and Norman (1991)
Temperate grassland	<i>Avena, Bromus, Stipa</i> spp., others	0.2 - 1.2	Gamon et al. (1995)
Temperate grassland	<i>Andropogon</i> spp., <i>Sorghastrum nutans</i>	0.5 - 3.5	Asrar et al. (1984)
Tropical deciduous forest	<i>Guapira macrocarpa, Plumeria rubra, Lonchocarpus constrictus, Bursera instabilis</i> , others	3.3 - 5.4	Maass et al. (1995)
Tropical grassland/pasture	<i>Brachyaria and Pennisetum</i> spp.	0.25 - 9.1	Asner and Townsend ( <i>unpub.</i> )
Tropical moist forest <sup>1</sup>	many - Amazon Basin	3.8 - 7.1	Asner and Townsend ( <i>unpub.</i> )
Tropical rain forest	<i>Micrandra, Eperua</i> , many others	2.8 - 9.8	Klinge and Herrera (1983)
Tropical rain forest	many - Amazon Basin	5.2 - 7.5	Jordan and Uhl (1978) Saldarriaga (1985)
Tropical rain forest <sup>1</sup>	not given - Puerto Rico	2.2 - 8.6	Jordan (1969)
Tropical rain forest <sup>1</sup>	<i>Cecropia, Vismia, Miconia</i> spp.	3.4 - 4.8	Honzak et al. (1996)



# Definition of Leaf Area Index, LAI

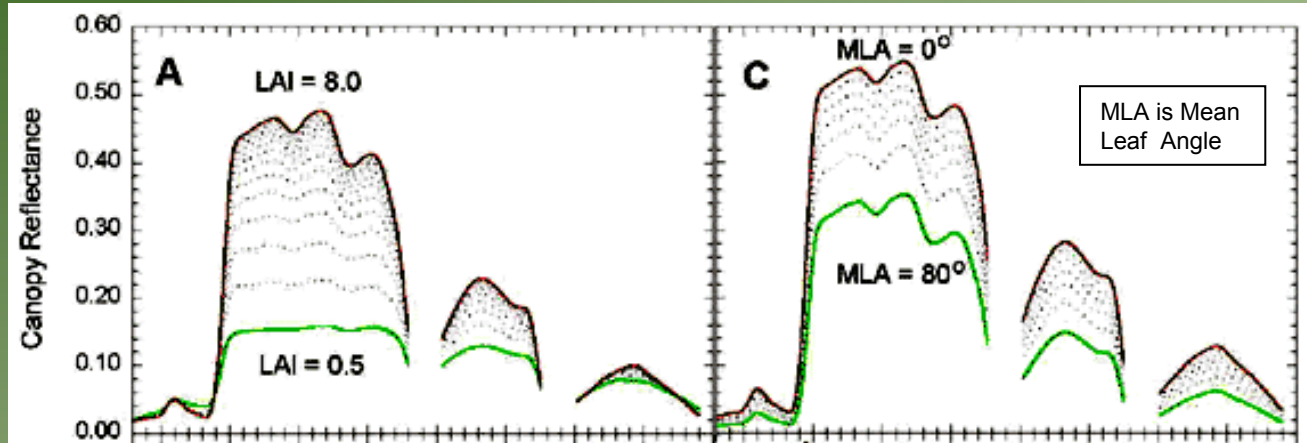
- One sided green leaf area per unit ground area
- Example: Total square meters of one side of green leaves above 1.0 square meter of soil
- LAI units:  $[\text{m}^2 \text{ of leaf area}]/[\text{m}^2 \text{ of ground}]$   
e.g. dimensionless



# Leaf Angles Distribution

- Plants can dynamically change the angle of their leaves to increase or decrease the amount of EMR (and increase or decrease the heat loading).
- Leaves range from planophile (horizontally oriented) to erectophile (vertically oriented).
- Leaf angle probability density function is approximately spherical in many canopies i.e. canopy leaf area is distributed in angle like the area on a sphere.
- The angle of incident solar radiation and the angle of the leaf affect the at-sensor reflectance.

# LAI/Leaf Angle and Spectra



## Spectral Index

$$\text{NDVI} = \frac{\text{NIR} - \text{Red}}{\text{NIR} + \text{Red}}$$

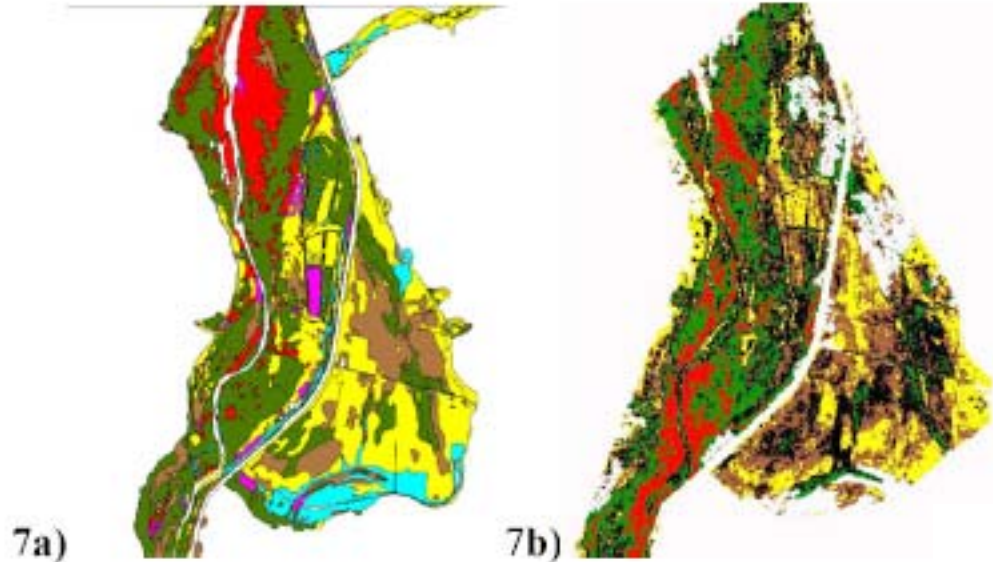
*Factor 2: architecture*

# Crown Shape

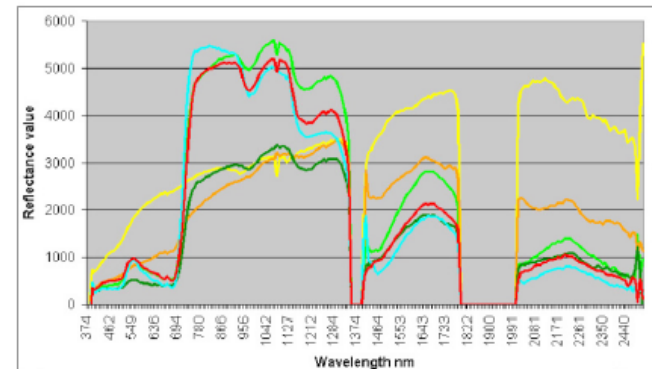
- The shape of crowns is diagnostic of certain species.
- Example: coniferous (conical) vs. deciduous (spherical)
- Hyperspatial imagery can be used to assess the actual shape.

Putting it all together....example 1

# Mapping Invasive Species



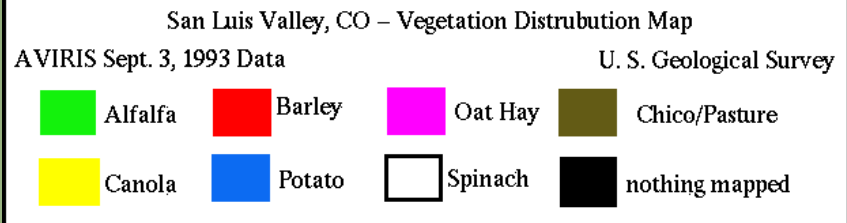
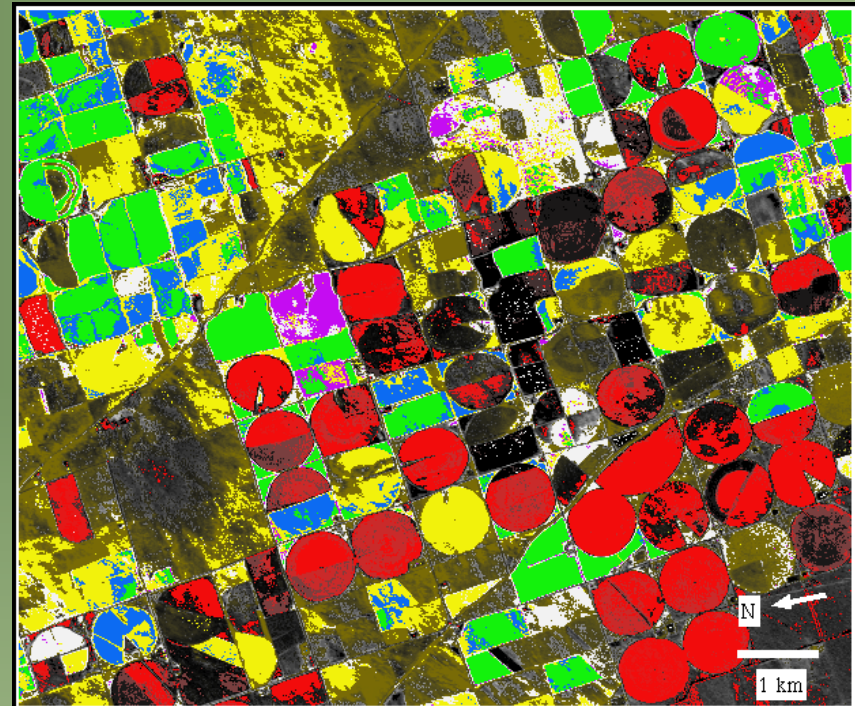
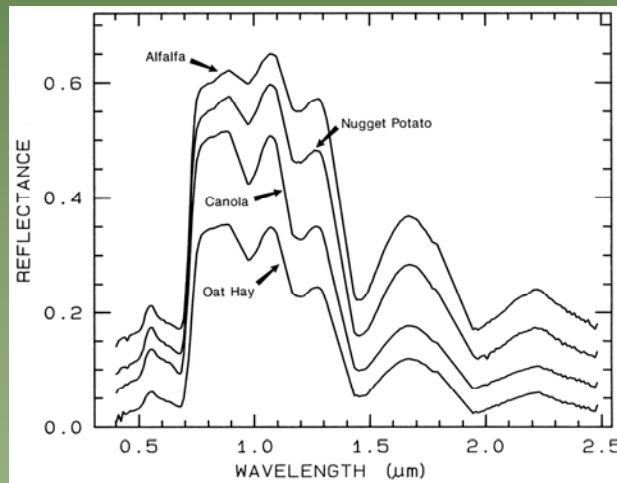
0 800 Meters



Putting it all together....example 2

# Mapping Crop Types

- Clark et al. 1995: used AVIRIS, Tricorder and reference spectrum to differentiate different CO crops.



# Mapeamento da soja no estado do Paraná

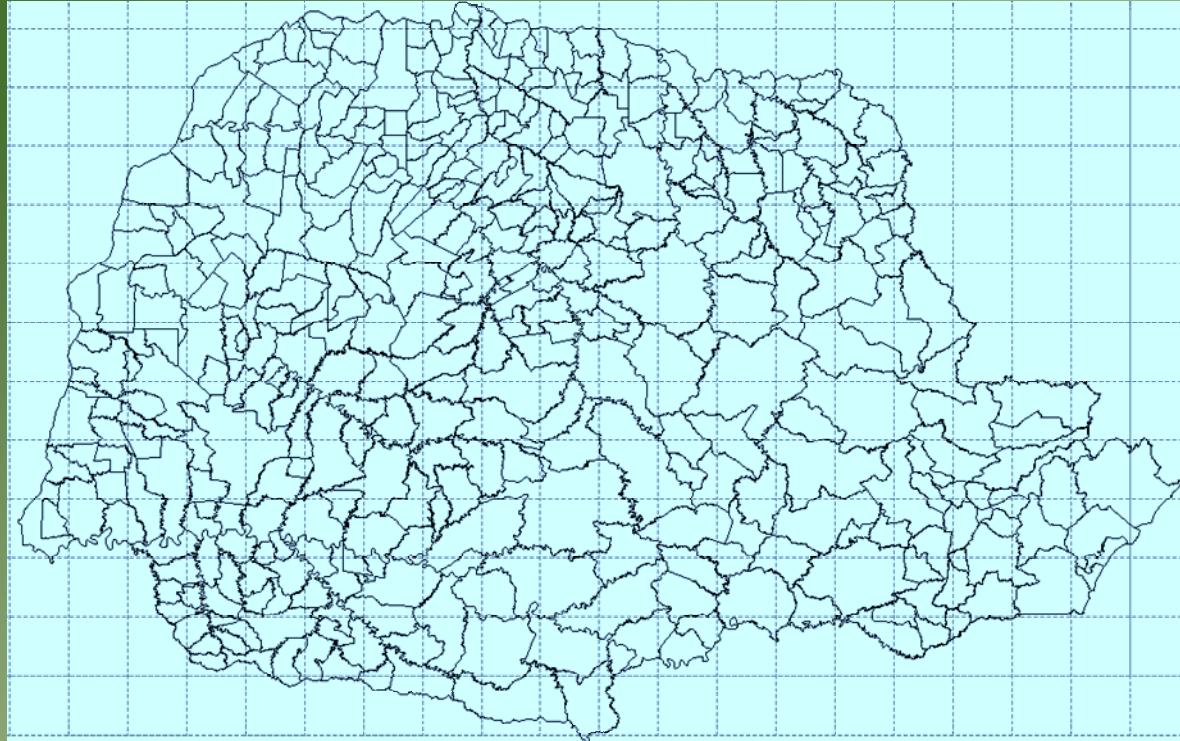
Universidade de São Paulo  
Escola Superior de Agricultura “Luiz de Queiroz”  
Grupo de Estudos em Seguro e Risco  
Núcleo de Sensoriamento Remoto

# Paraná



- 199.880 km<sup>2</sup>
- Concentra 20% da produção nacional de soja

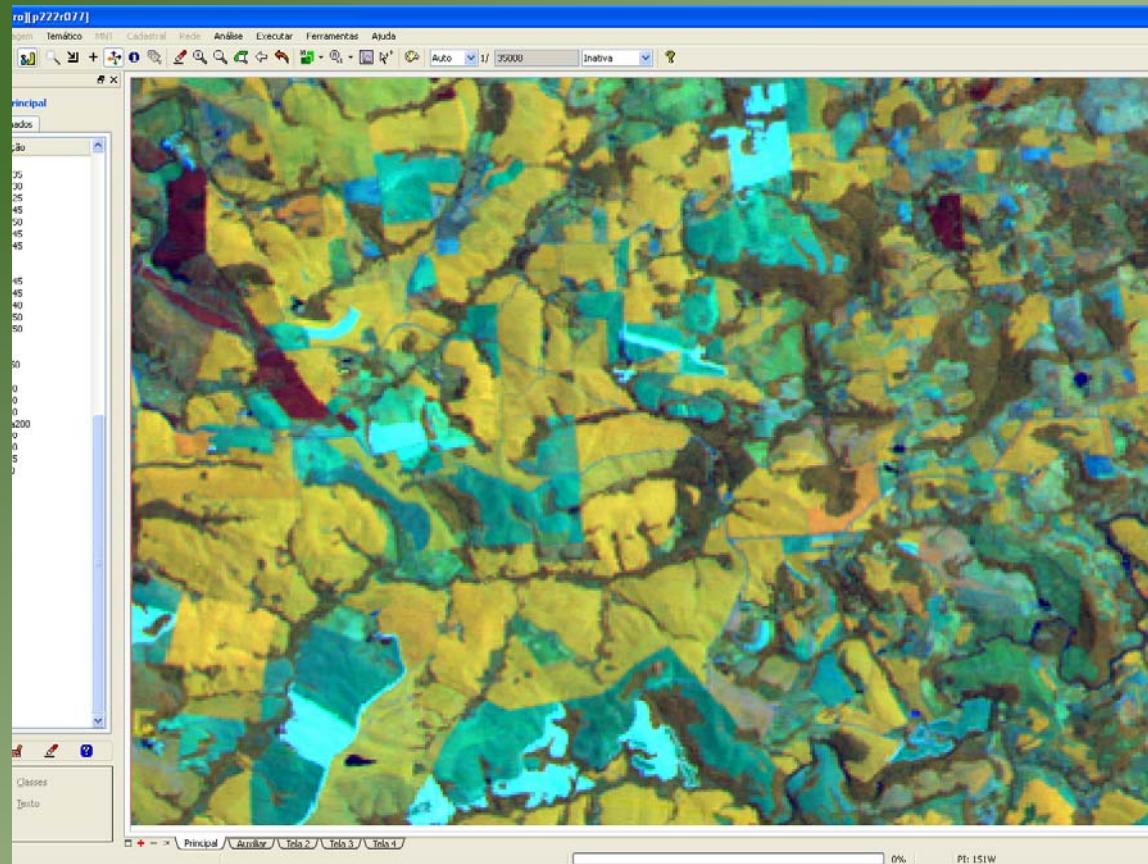




- Foi elaborada uma grade regular
- Cada unidade corresponde a uma variação de 20' Norte/Sul e 20' Leste/Oeste
- Cada unidade será mapeada separadamente
- No estado há um total de 179 unidades
- A área de cada uma equivale aproximadamente a 115 mil ha

# Metodologia para o mapeamento

- Download dos dados –Imagens Landsat 5 TM bandas 3/4/5
- Registro das imagens
- Processamento – 1)segmentação 2)classificação 3)edição



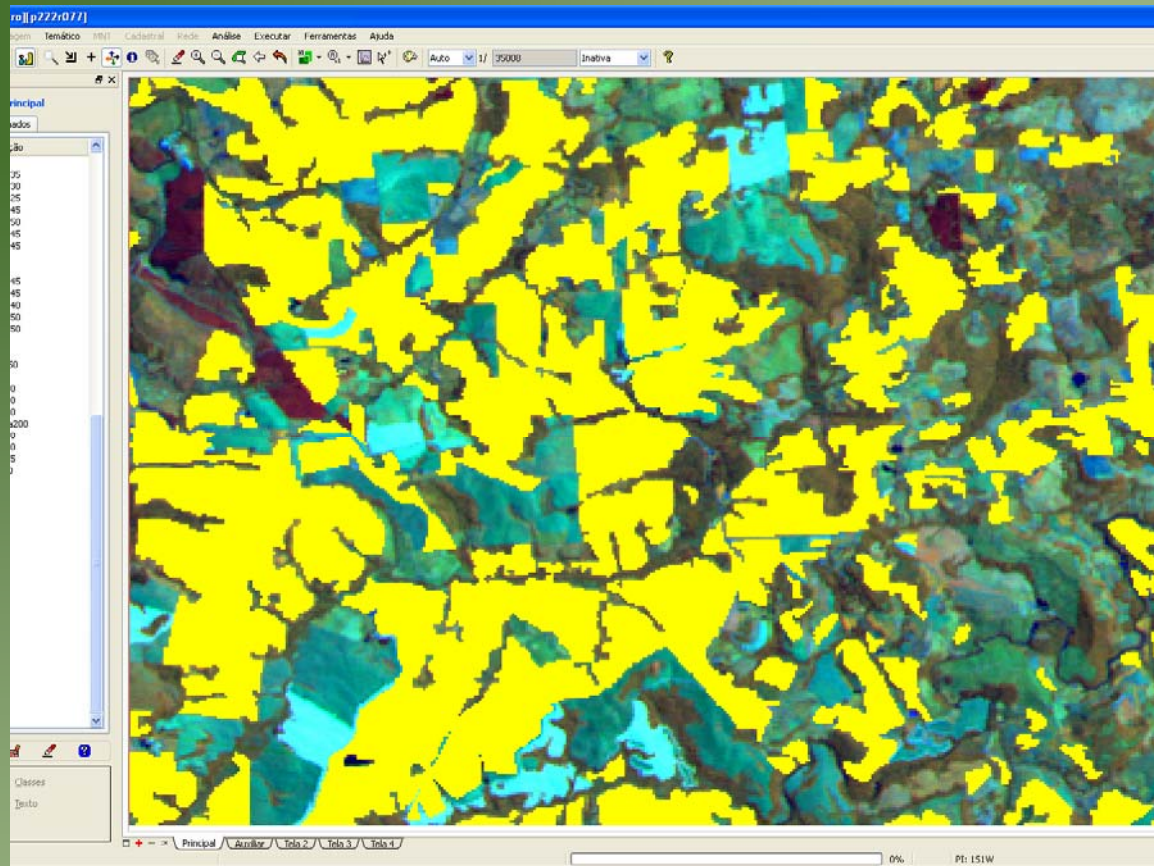
## Landsat TM

Composição RGB-453,

vermelho:banda4

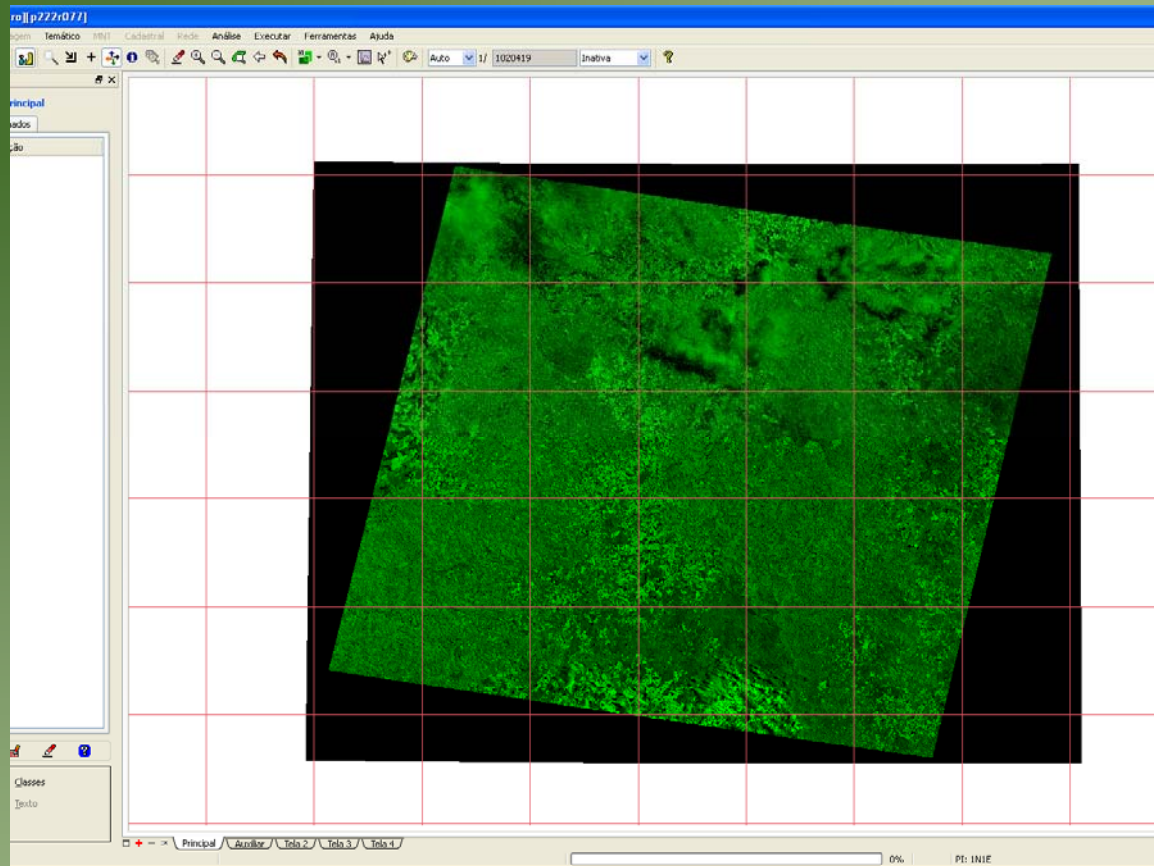
verde:banda5

azul:banda3



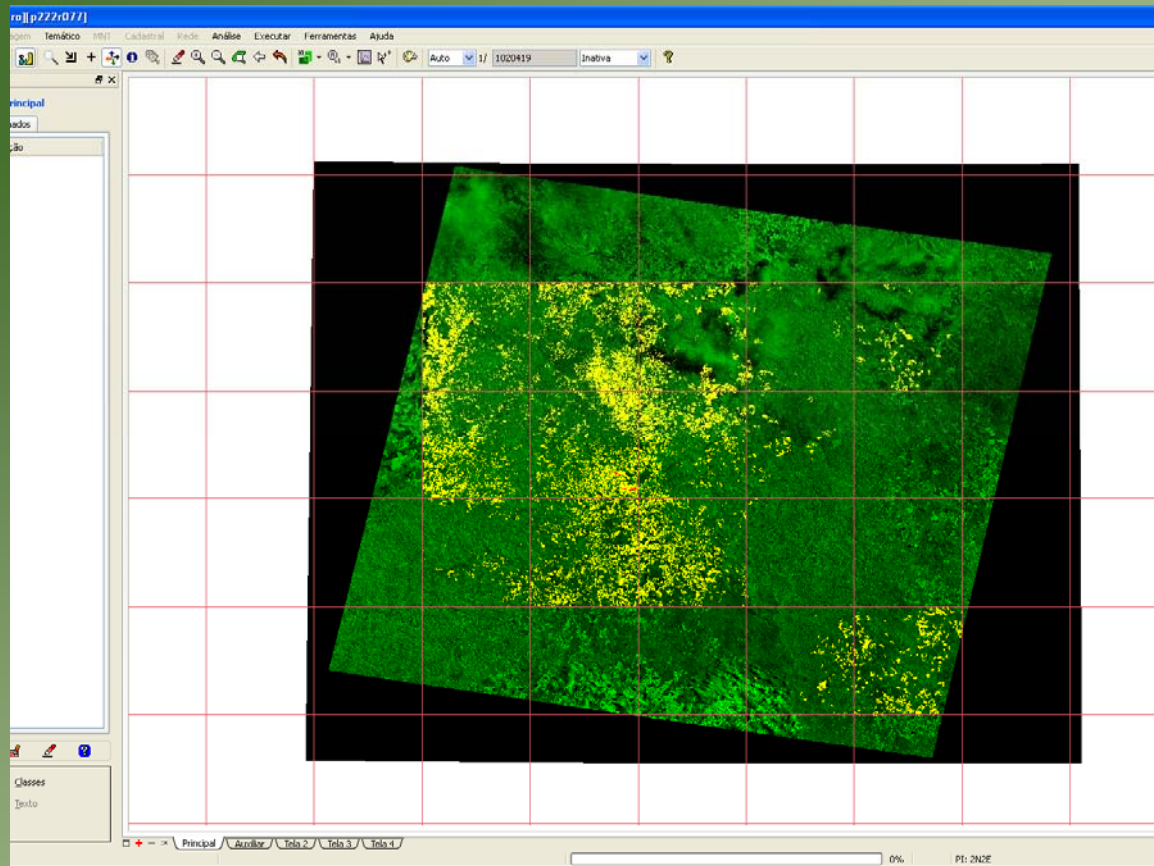
## Landsat TM

Mapeamento das lavouras de soja



## Landsat TM

Imagem da Orbits 222 Ponto 77, data 03/03/2009



## Landsat TM

Imagem da Orbital 222 Ponto 77, data 03/03/2009, com soja mapeada

# Limitações

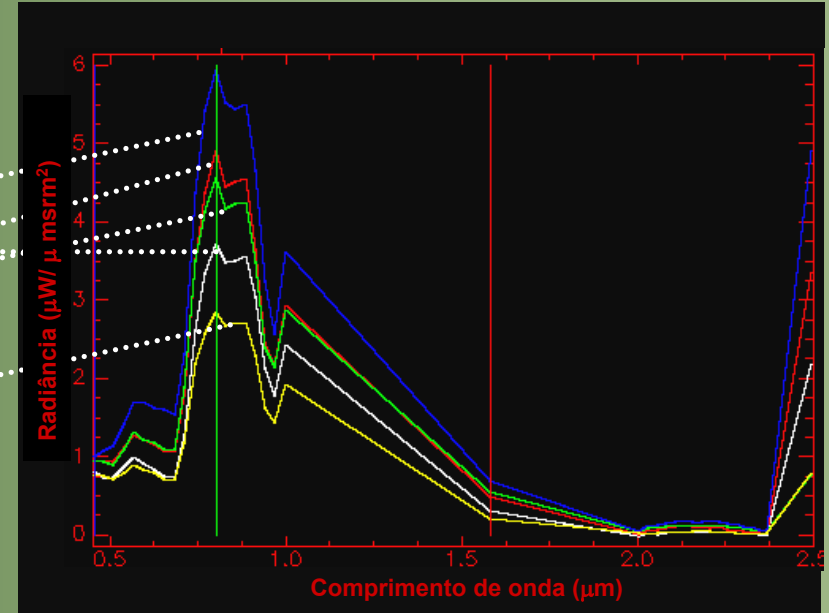
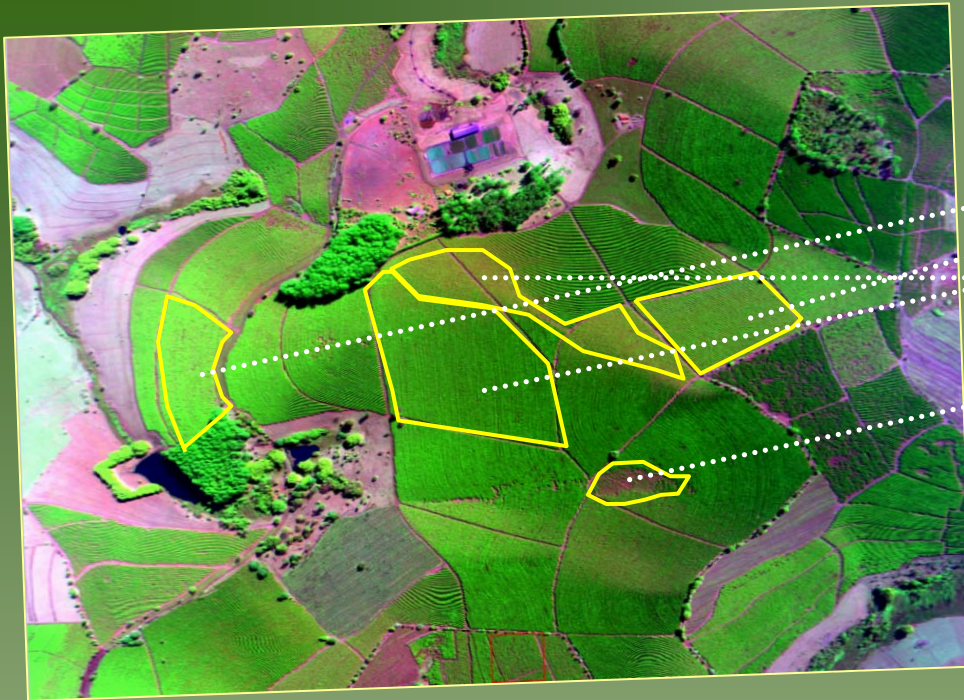
- Cobertura por nuvens
- Dependência de uma única fonte de dados(Landsat 5)
- Baixa resolução temporal

# Expectativas futuras

- Aumentar resolução temporal (satélite MODIS)
- Prever área colhida mensalmente
- Agregar dados agrometeorológicos
- Estimar produtividade
- Expandir para todo Brasil



# MODELOS EMPÍRICOS X MODELOS FÍSICOS



**Parâmetros agrônômicos externos**

(altura da planta, dimensões da copa, espaçamento, direção do plantio, solo (substrato) )

**Parâmetros agrônômicos internos**

(IAF, DAF, Ca+b, água....)

**Campo de radiação em estandes agrícolas esparsos**

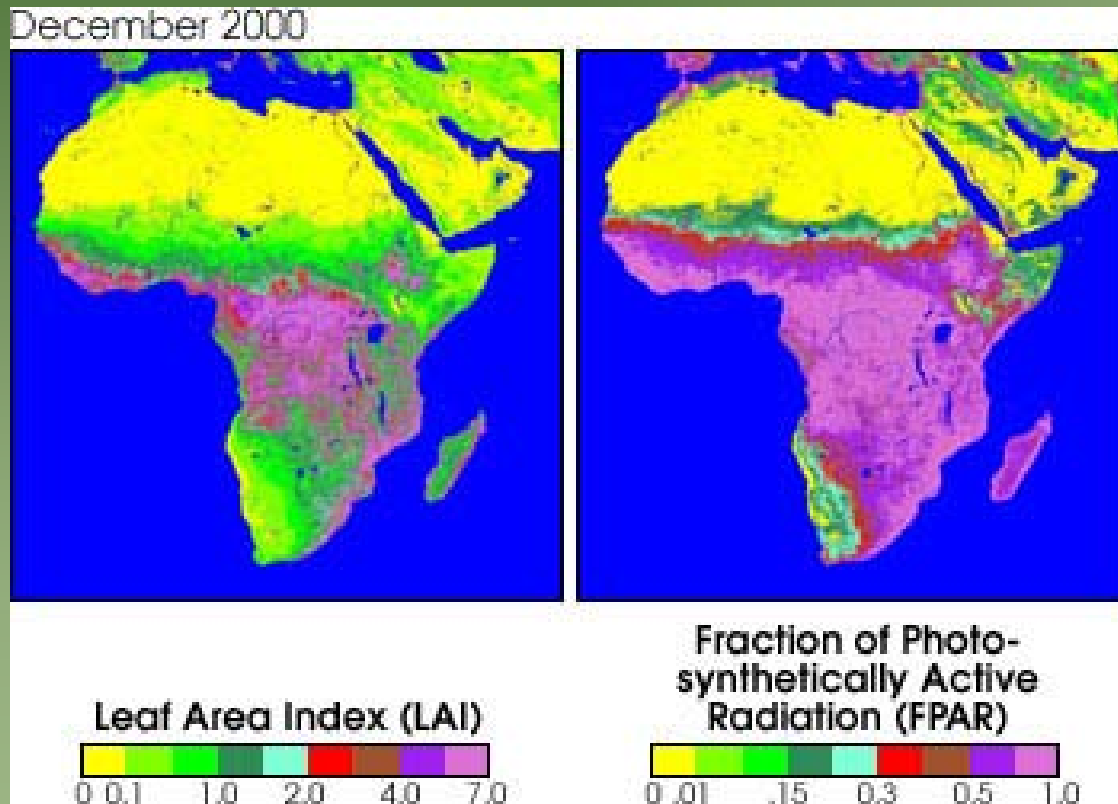
**Topografia**

**Geometria de observação e iluminação**

# MT RADIAÇÃO

- ✓ Estratégias para assimilar dados quantitativos de SR em modelos de funcionamento dos processos solo-vegetação-atmosfera

## Base física de MTR



Qual a função do MTR?

Quais os critérios para a escolha do MTR?

Quais os *Inputs*?

## HIPÓTESE DE MTR

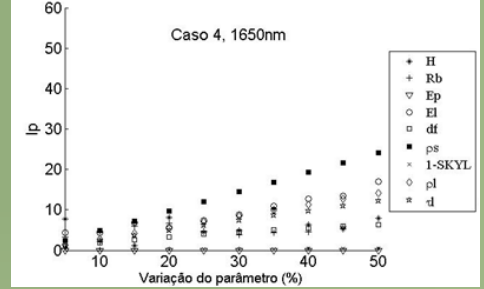
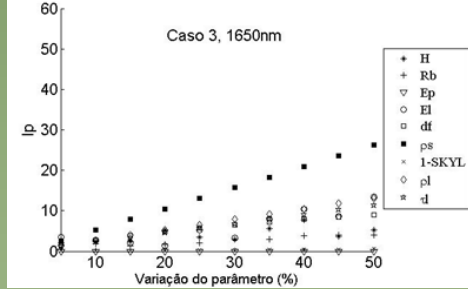
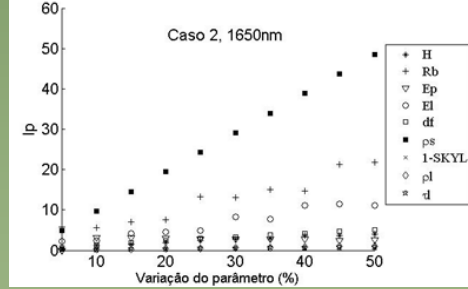
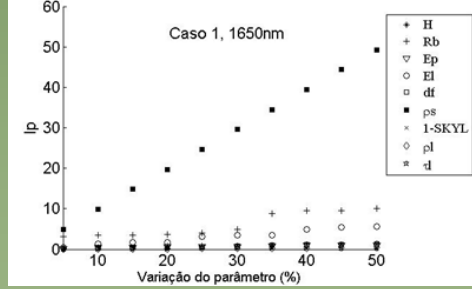
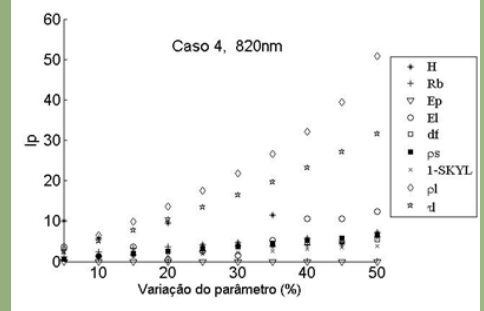
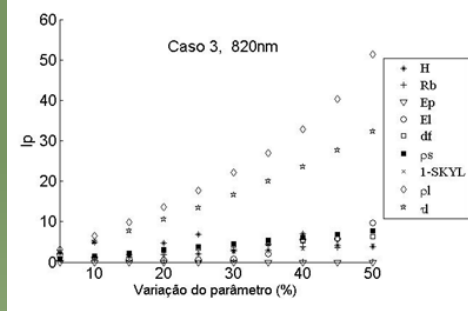
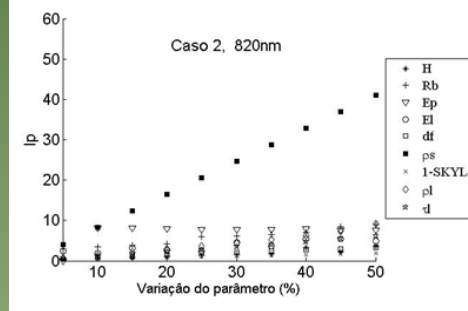
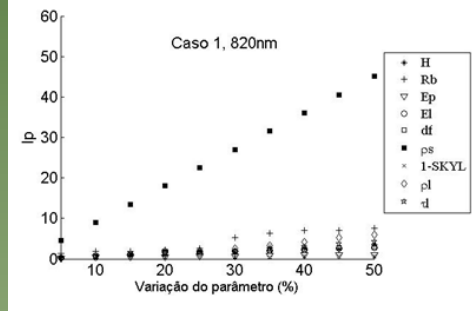
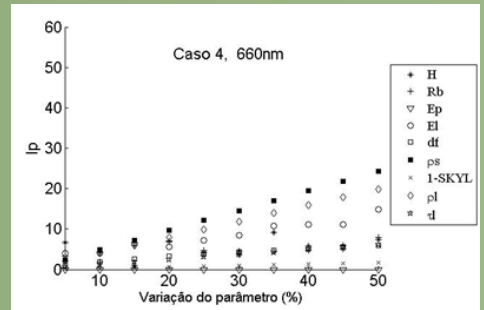
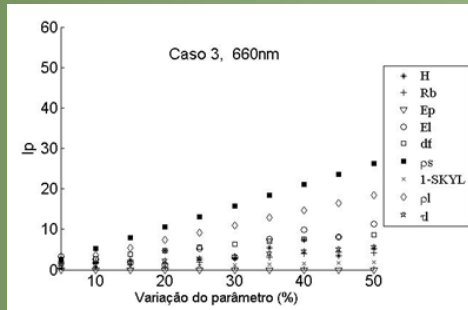
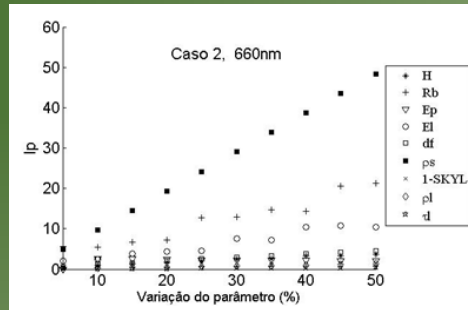
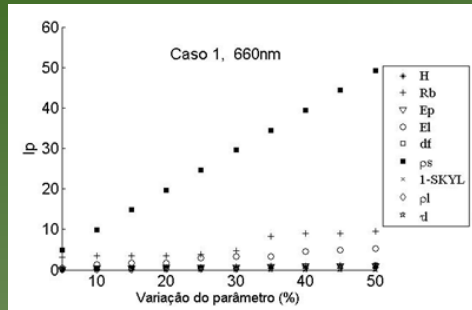


Problema direto – Modelagem física

$$\text{FRB} = \text{MTR}(\text{Estrutura}(t_i), \text{Geometria}(t_i), \text{Bioquímica}(t_i))$$

Problema inverso – Inversão numérica

$$(\text{Estrutura}(t_i), \text{Geometria}(t_i), \text{Bioquímica}(t_i)) = \text{Imagem}(\text{FRB})$$



Crescimento das plantas

# MT RADIAÇÃO: INTERCEPTAÇÃO-USO-RELAÇÕES BIOFÍSICAS

## MTR - Aplicações do problema direto – Modelagem física

Correção dos valores de albedo  
Correção do coeficiente de extinção  
Indicação de favorabilidade

## MTR - Aplicações do problema inverso – Inversão Numérica RNs ou LUTs

